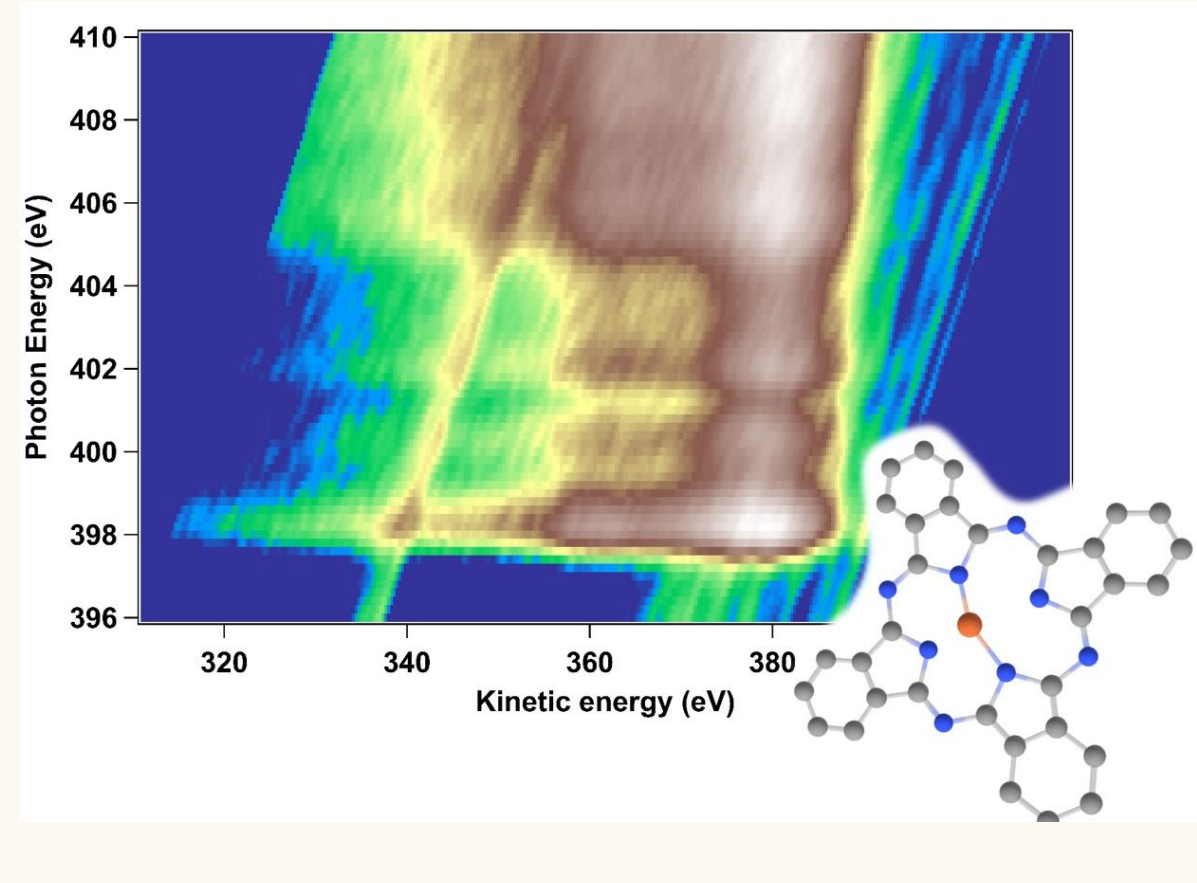
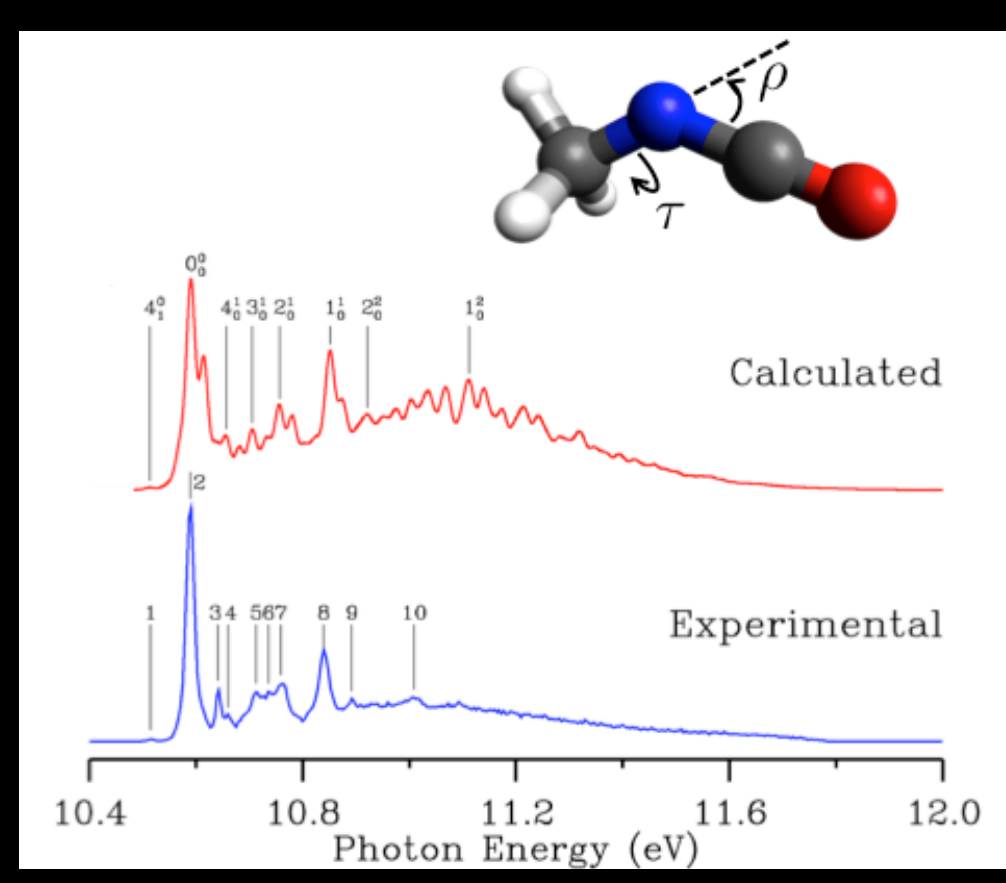


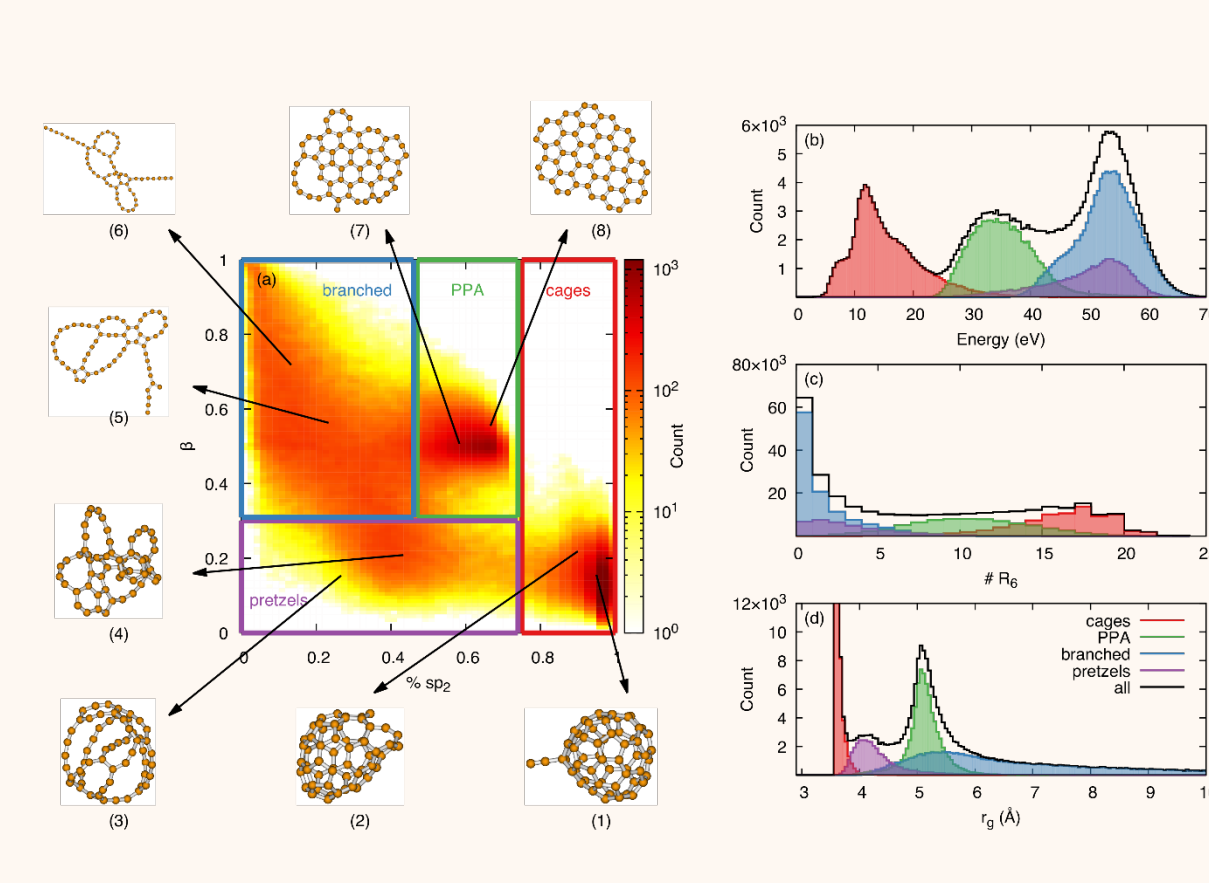
Silicène sur couche isolante de NaCl



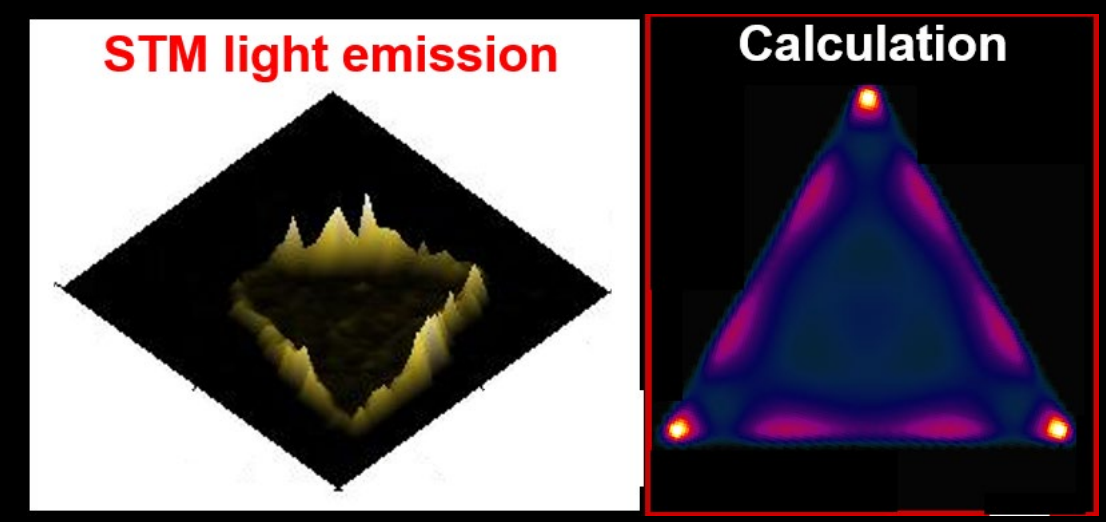
Spectroscopie Auger de biomolécules comme sonde locale des processus d'excitations et de relaxations électroniques.



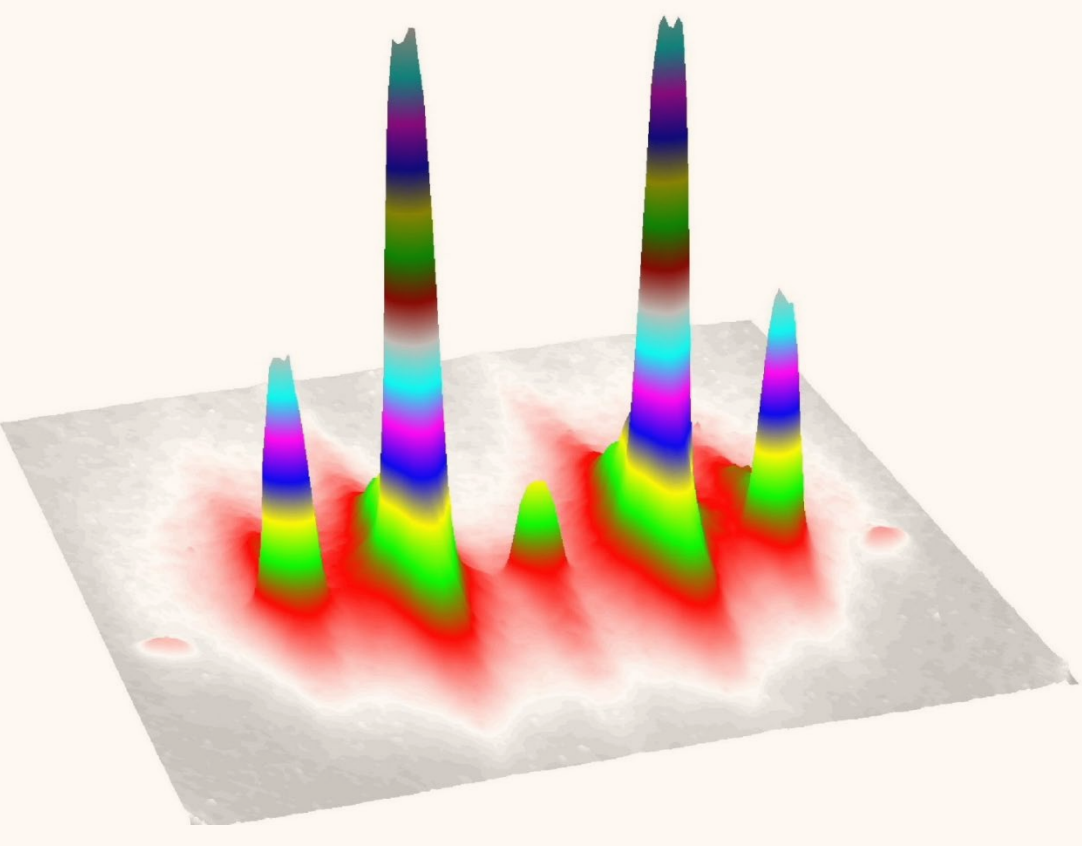
Effets de quasi-symétrie dans la structure vibrationnelle de CH_3NCO^+



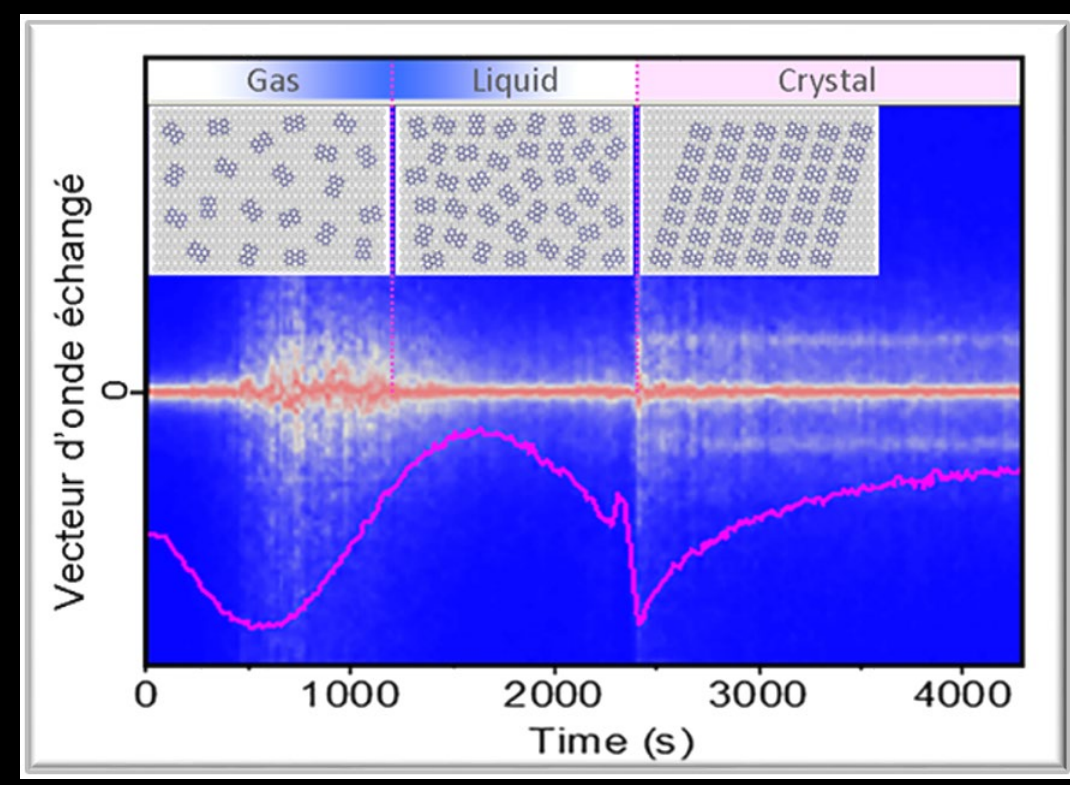
Structures et spectres infrarouges des agrégats de C_{60}



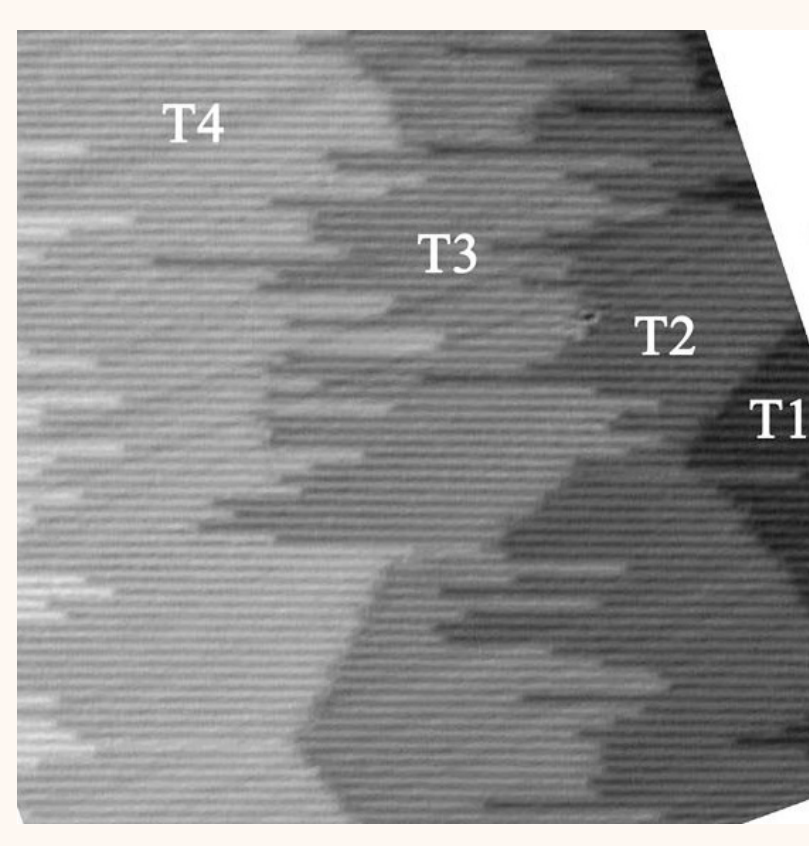
Cartographie à l'échelle nanométrique de la densité d'états photoniques radiatives avec un STM



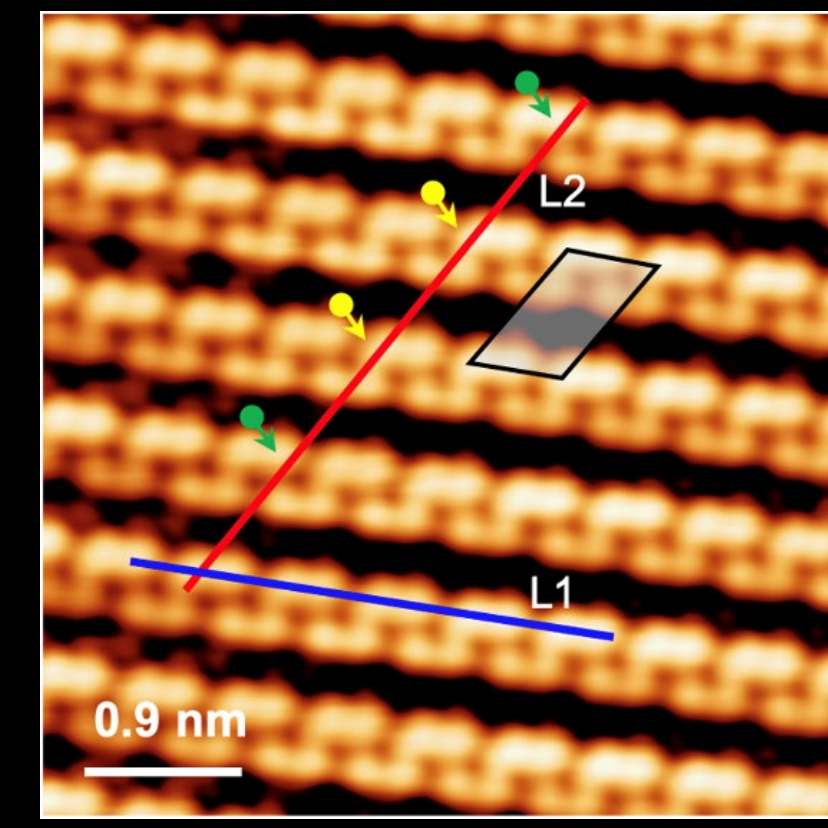
Diffraction d'atomes rapides sur NaCl(100)



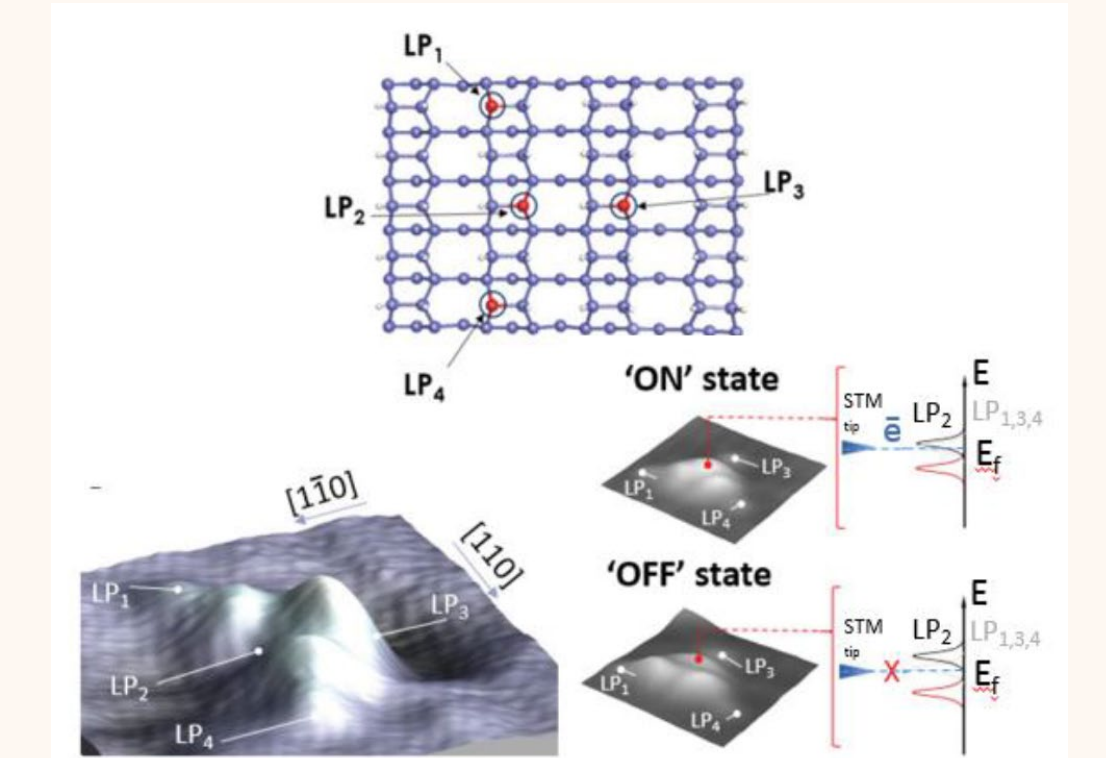
Cristallisation ultra-rapide d'une monocouche organique révélée par GIFAD



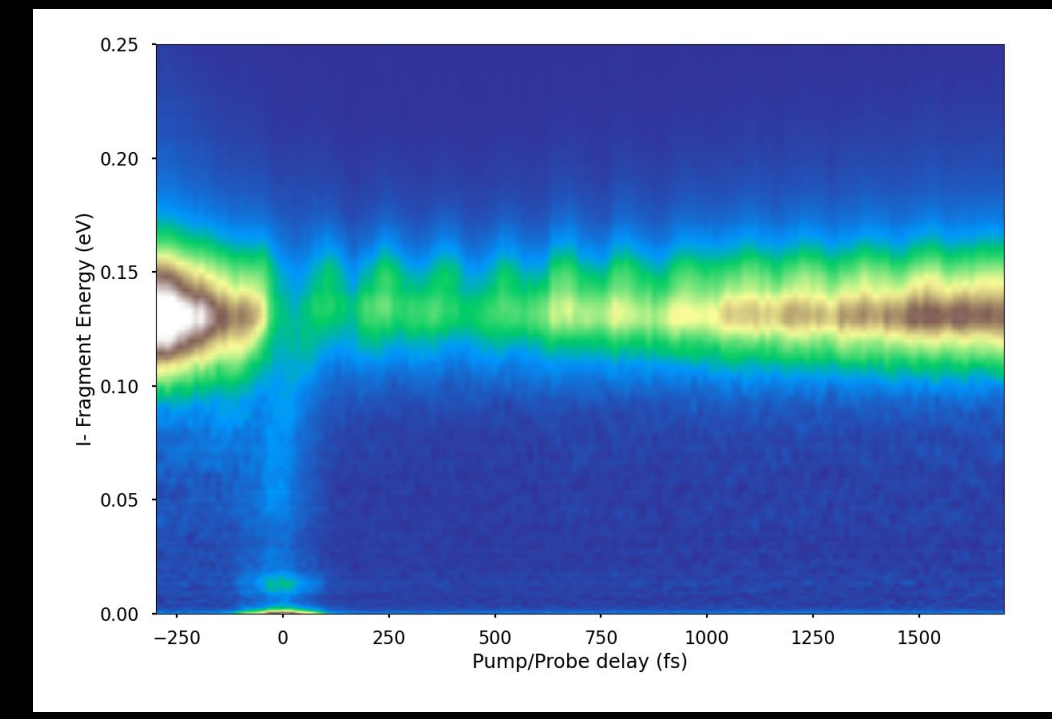
Couche de Pérylène auto-assemblée sur Ag(110)



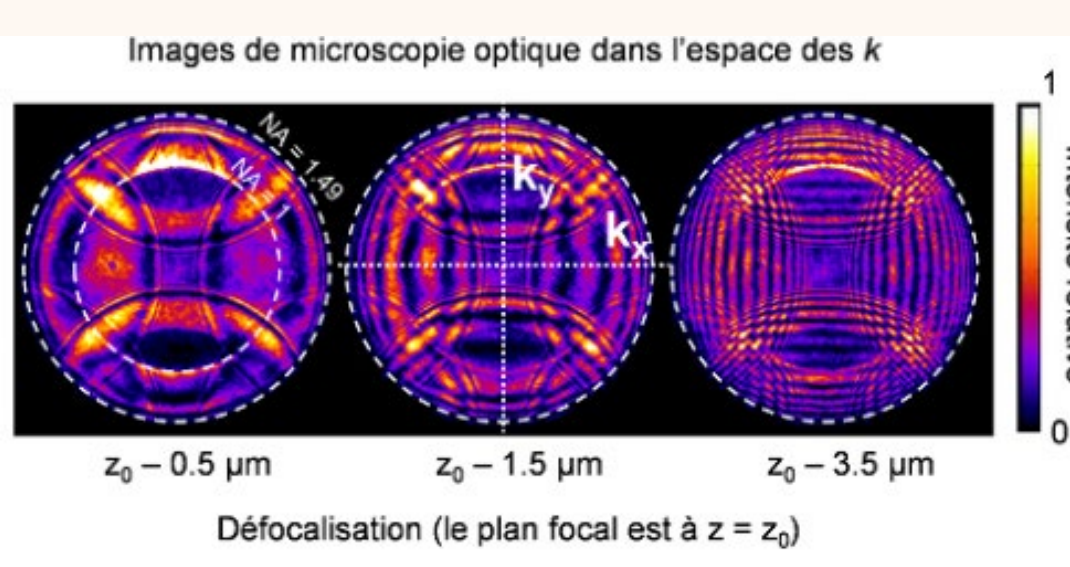
1D-Chaines de Phosphorene sur Ag(111)



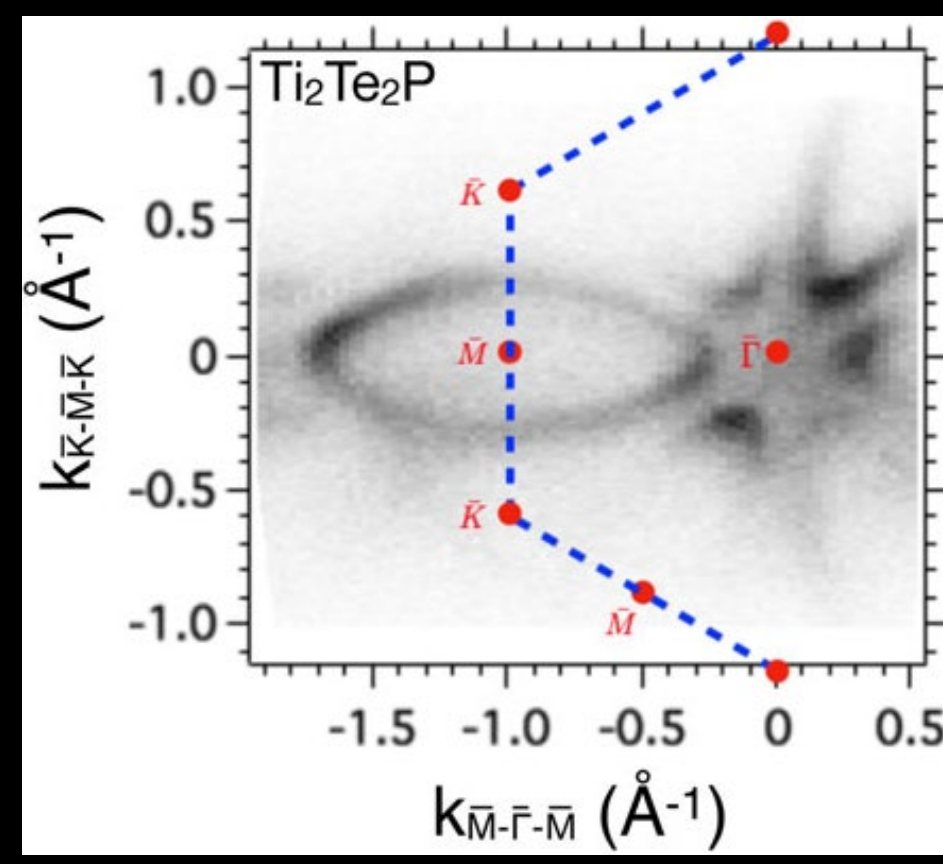
Dispositif ON/OFF fabriqué à partir de 4 boîtes quantiques couplées sur la surface du Si(100):H



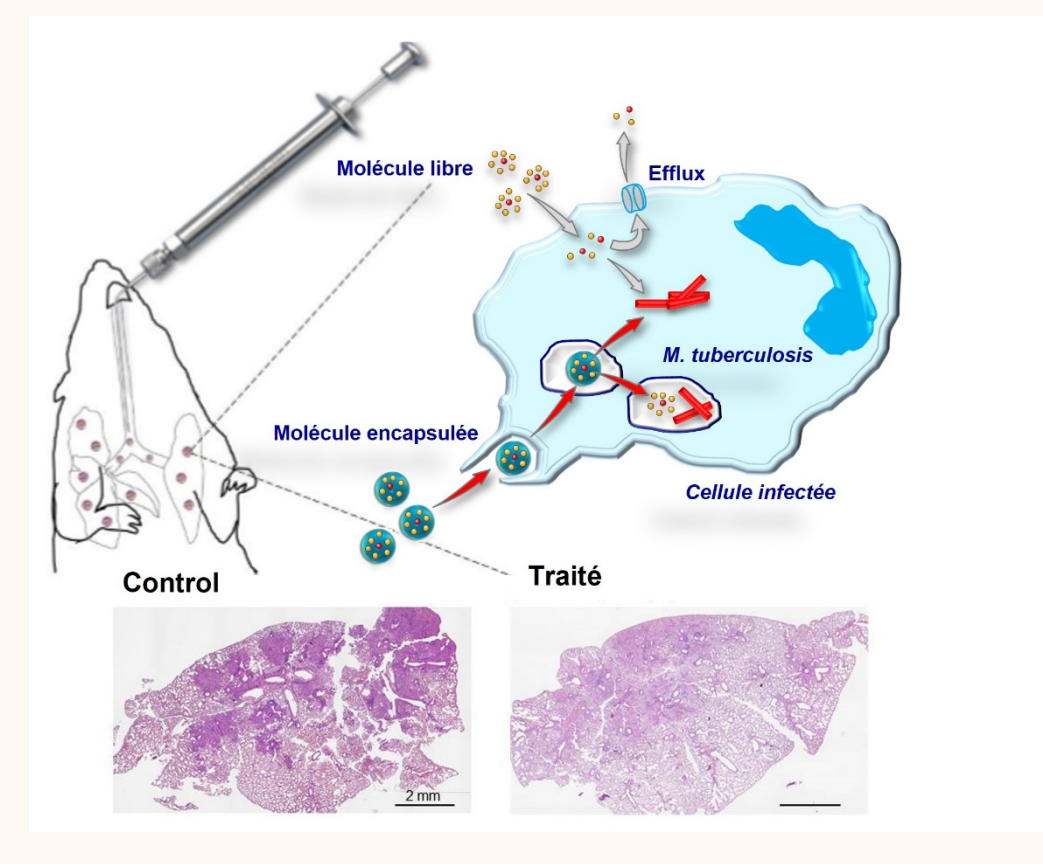
Oscillation femtoseconde de paquet d'ondes observée après excitation de I_2 à 266 nm



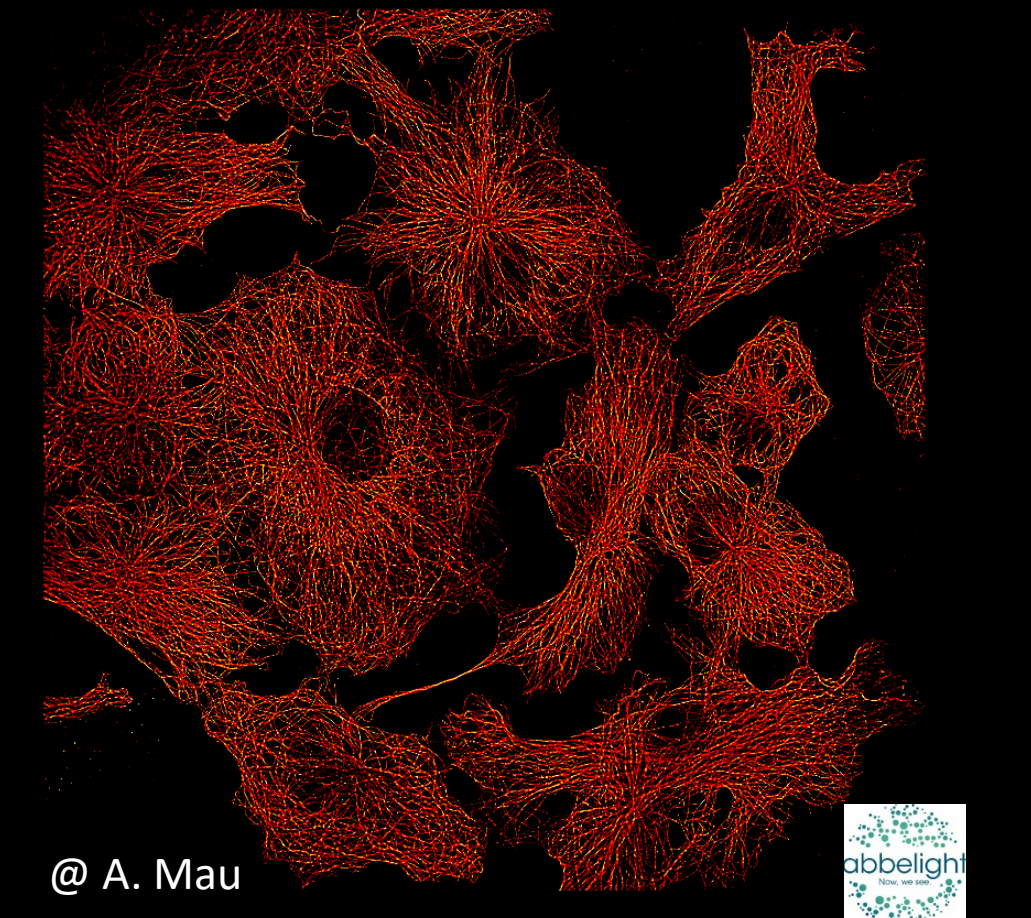
De nouvelles possibilités en microscopie optique dans l'espace des k



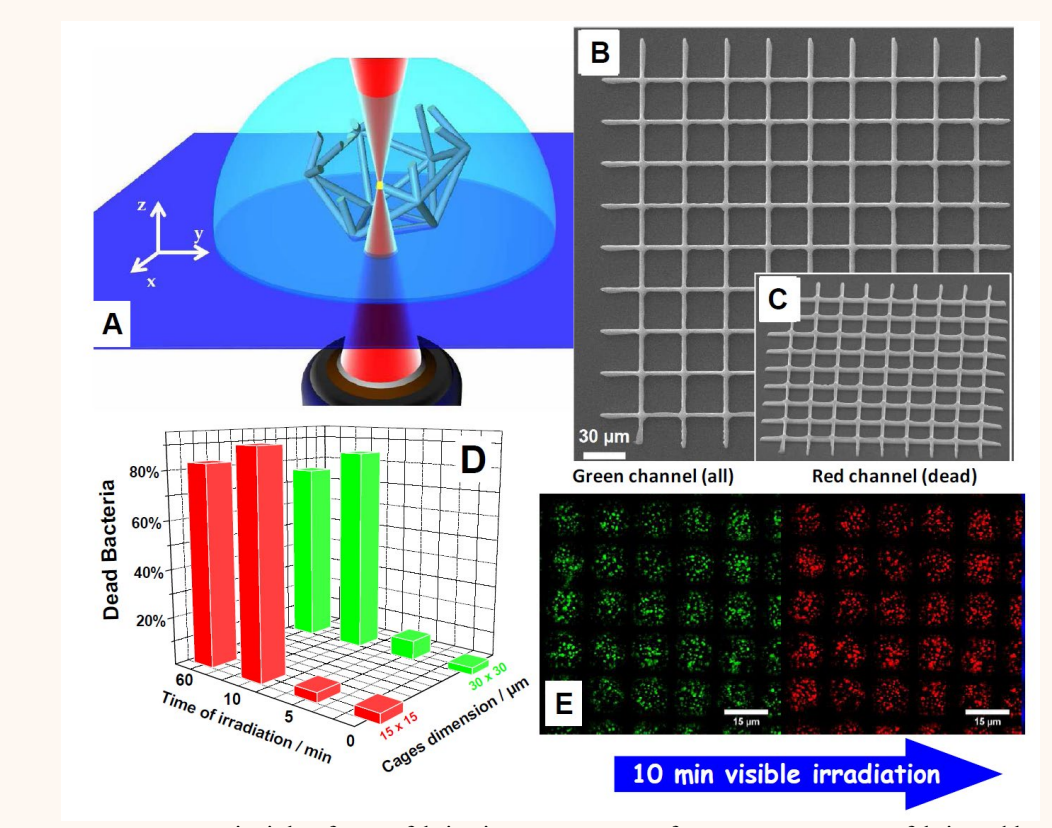
Texture de spin des arcs et nœuds de Dirac sur le métal $\text{Ti}_2\text{Te}_2\text{P}$



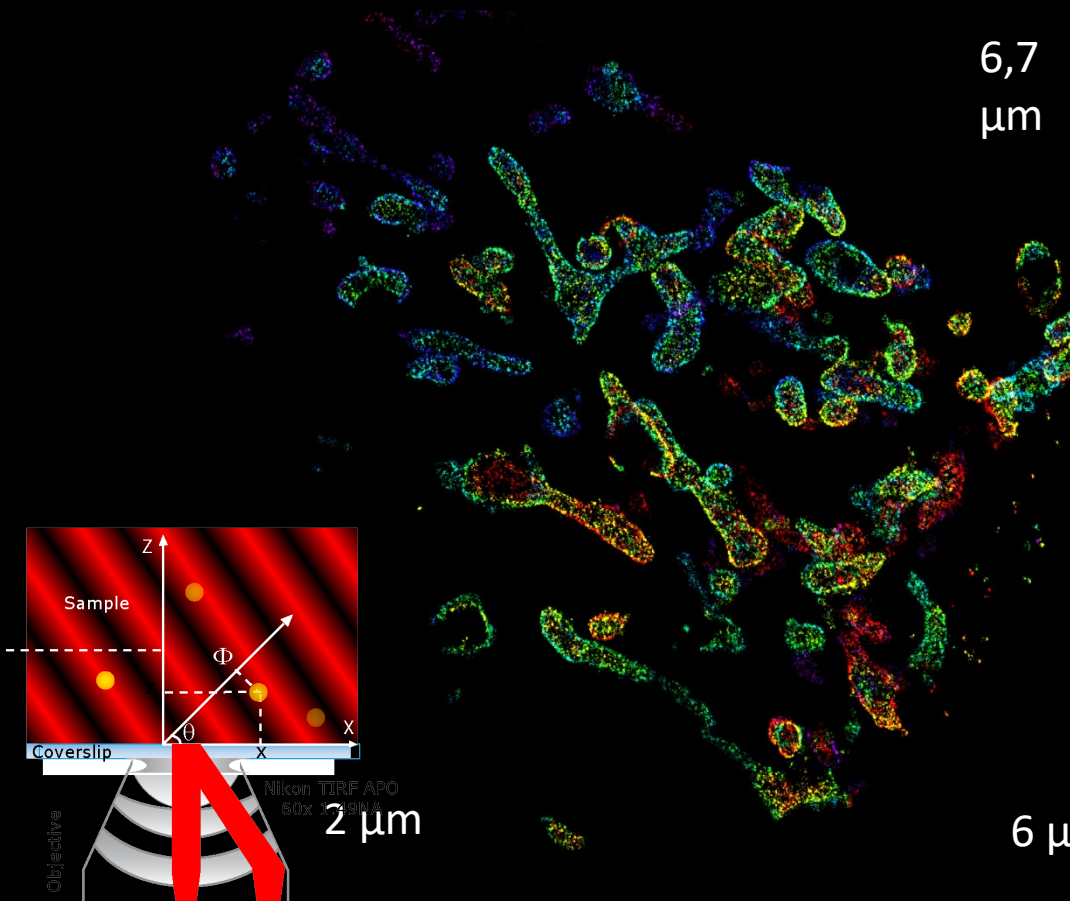
Nanoparticules « cage » pour combattre la tuberculose



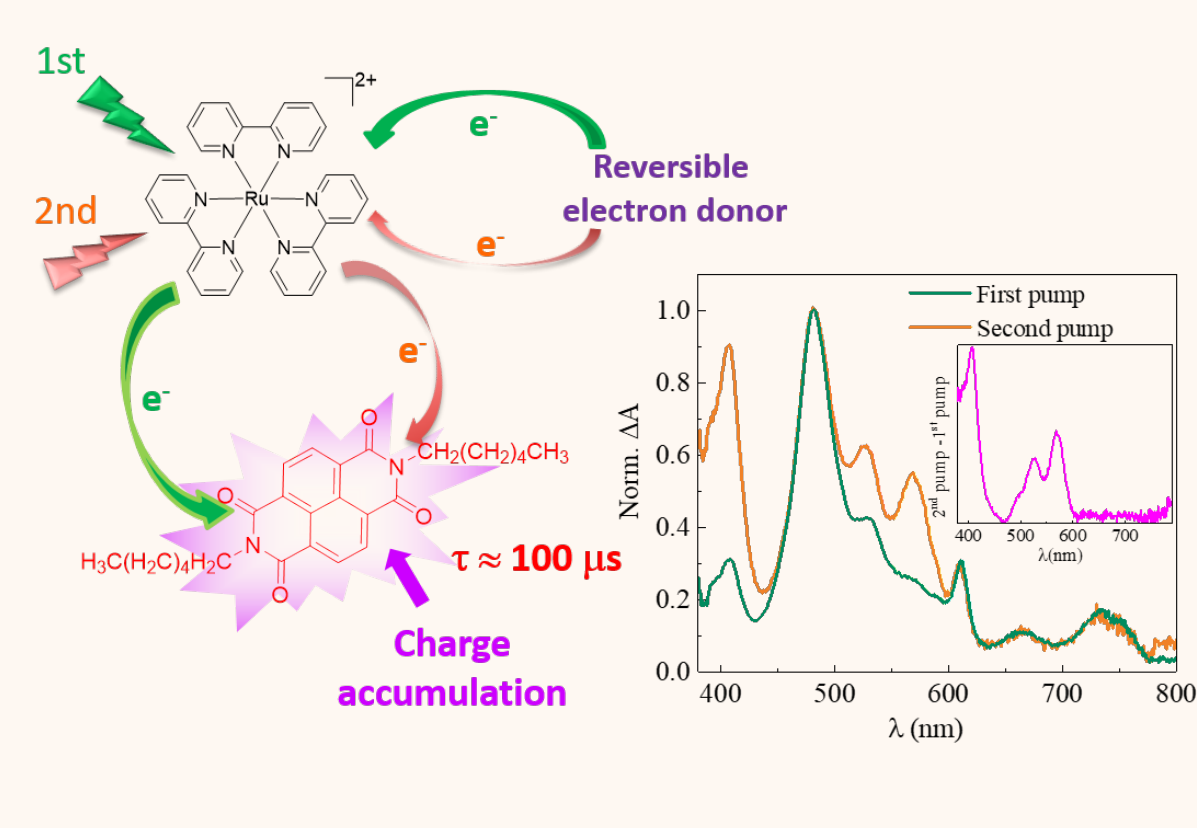
« Flat illumination » pour la microscopie super résolue



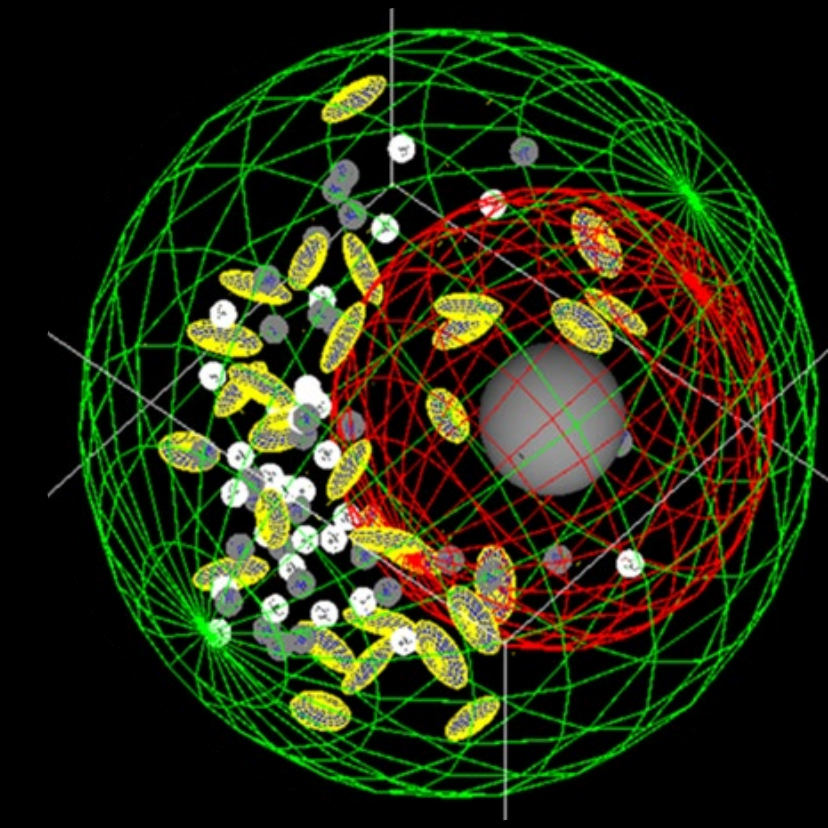
Fabrication de microcages carrées pour piéger *S. aureus*



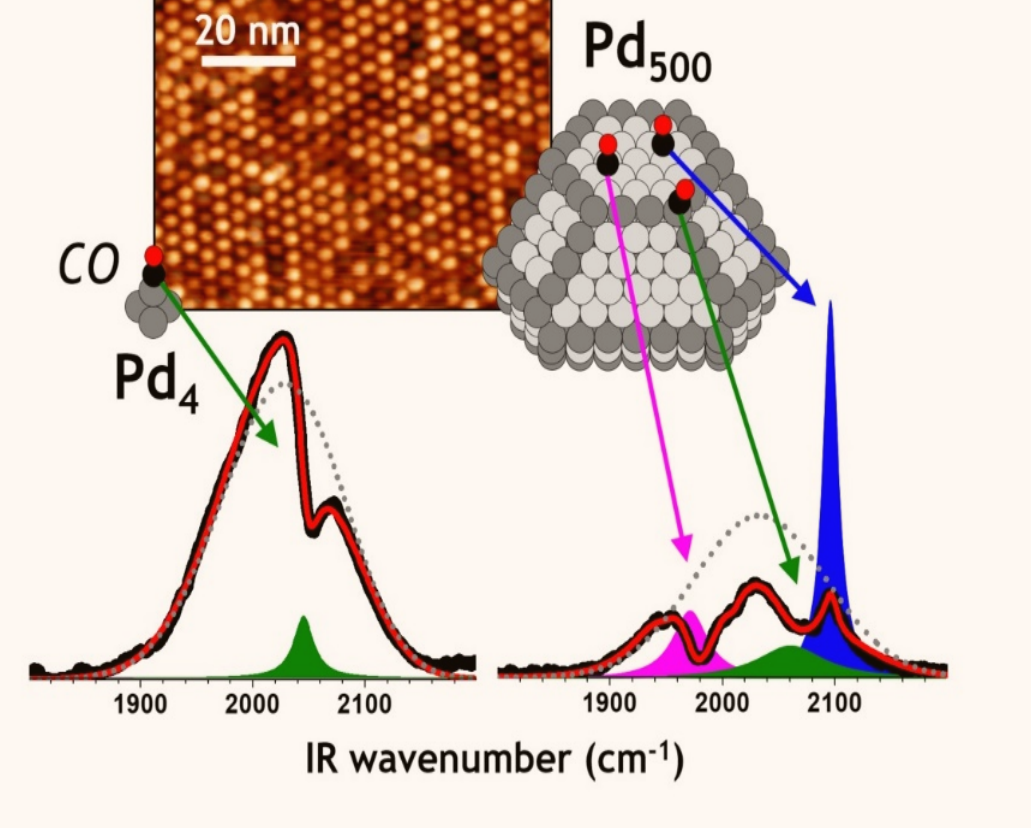
Imagerie super-résolue en profondeur dans les cellules par modulation de l'excitation



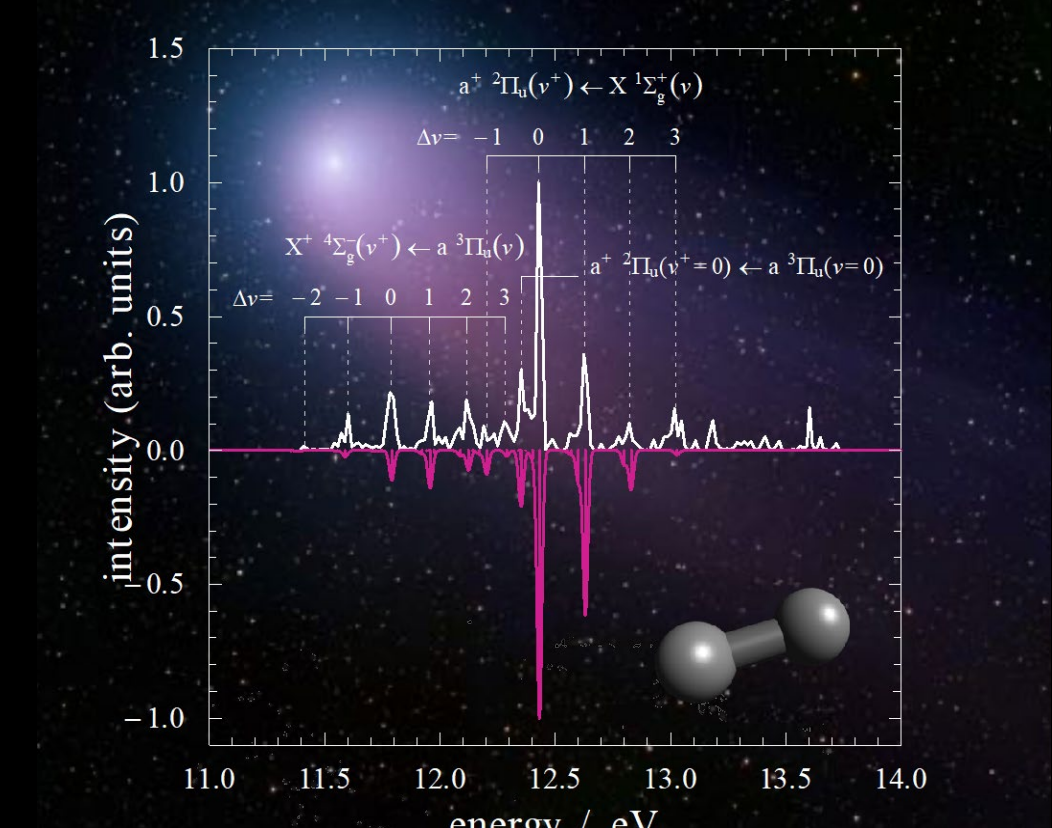
Accumulation de charges induites par la lumière sur un système multicomposantes



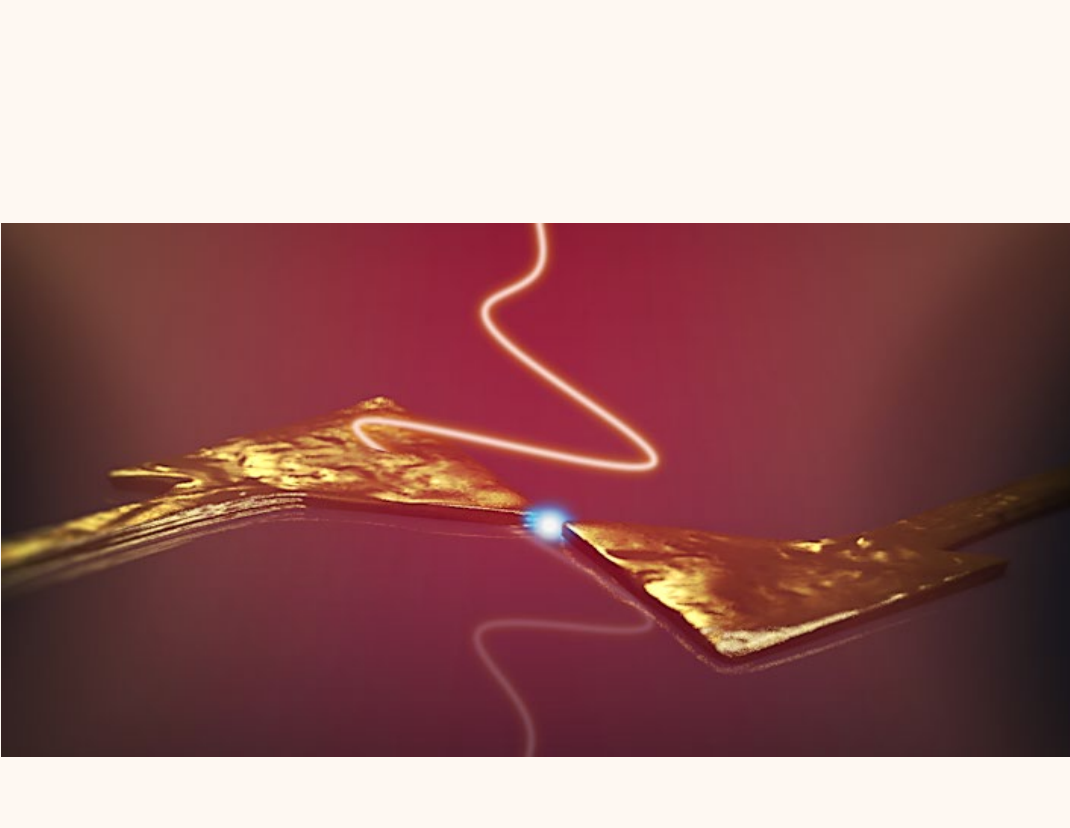
Modélisation d'une cellule simulation Monte Carlo



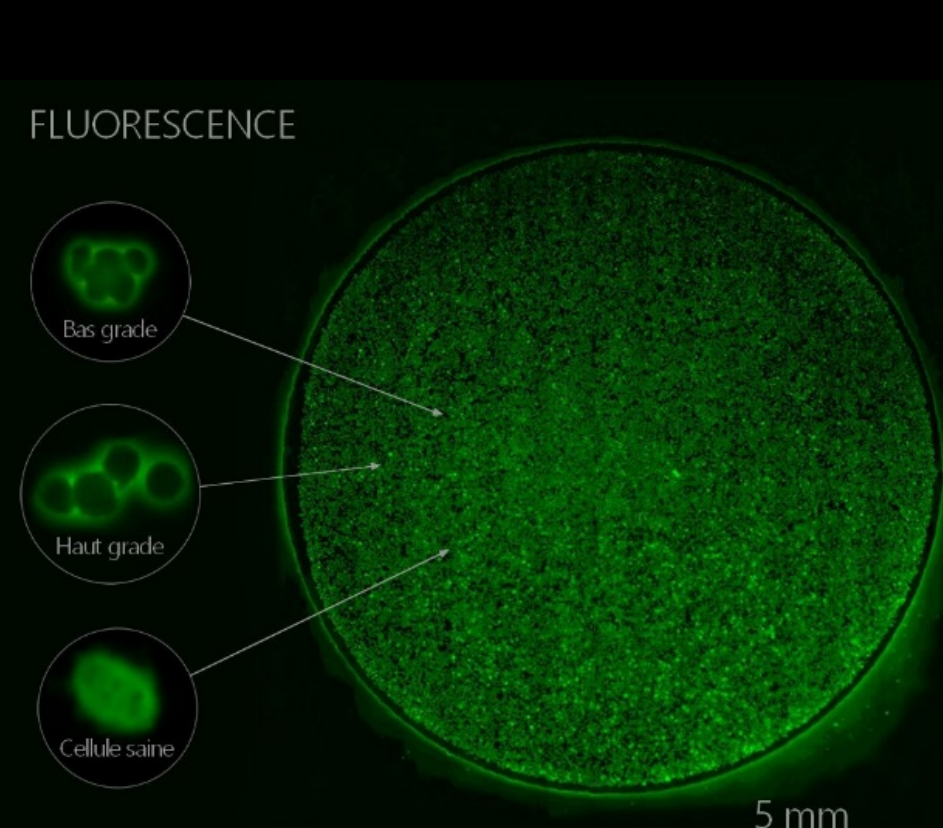
Caractérisation d'agrégats sub-nanométriques par spectroscopie vibrationnelle femtoseconde



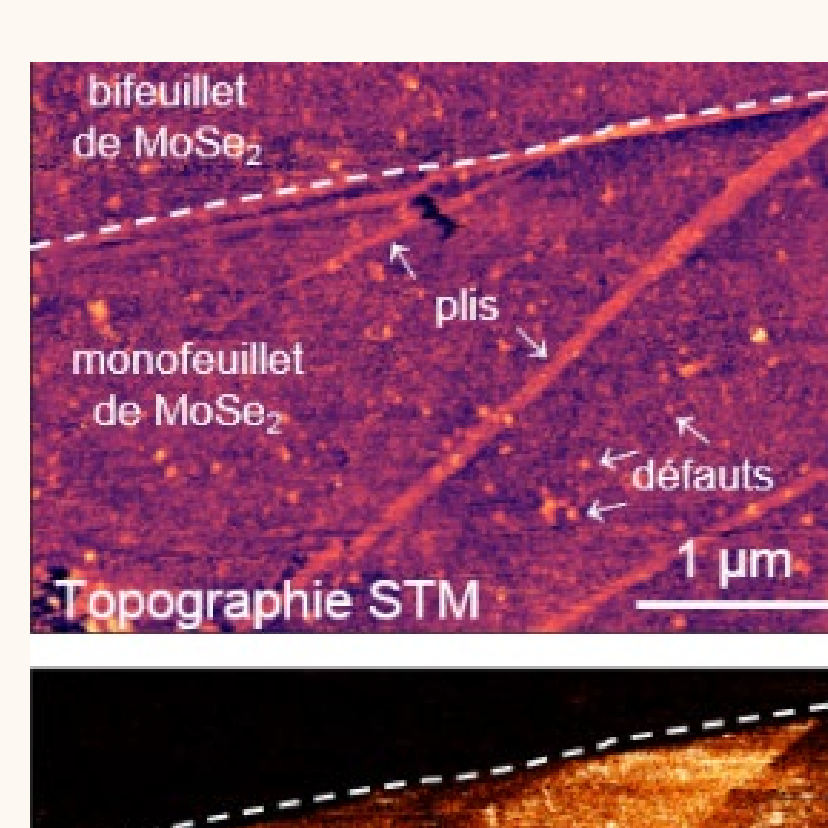
Mesure inédite à un photon VUV de l'ionisation de C_2



Contrôle par la lumière de la dynamique des électrons dans un nanocircuit métallique



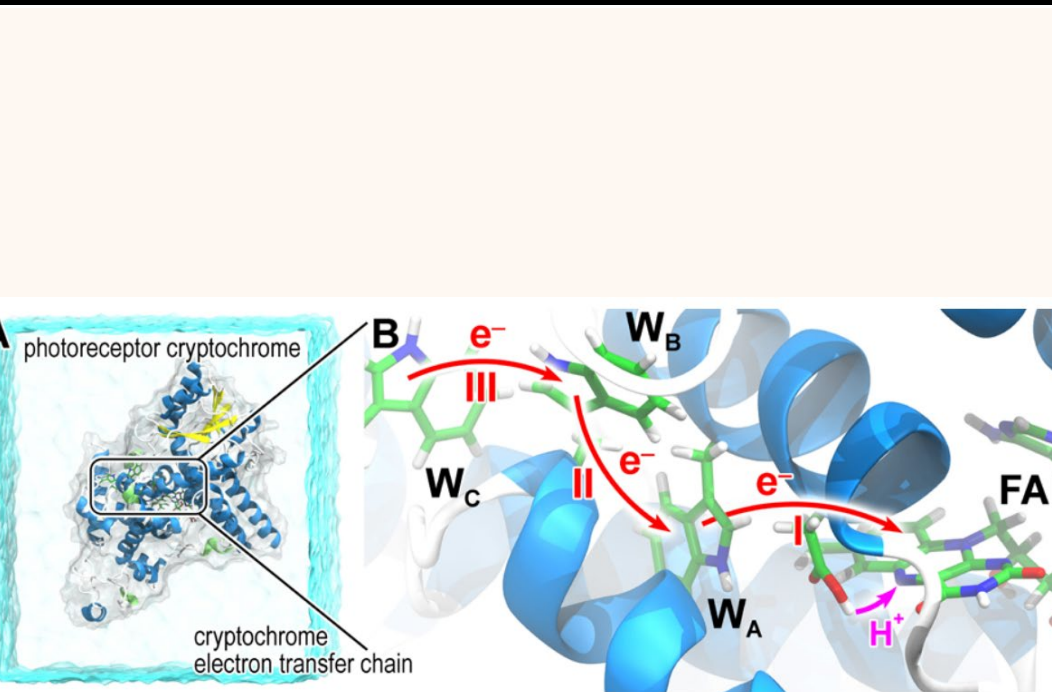
Détection des cancers de bas grade de malignité



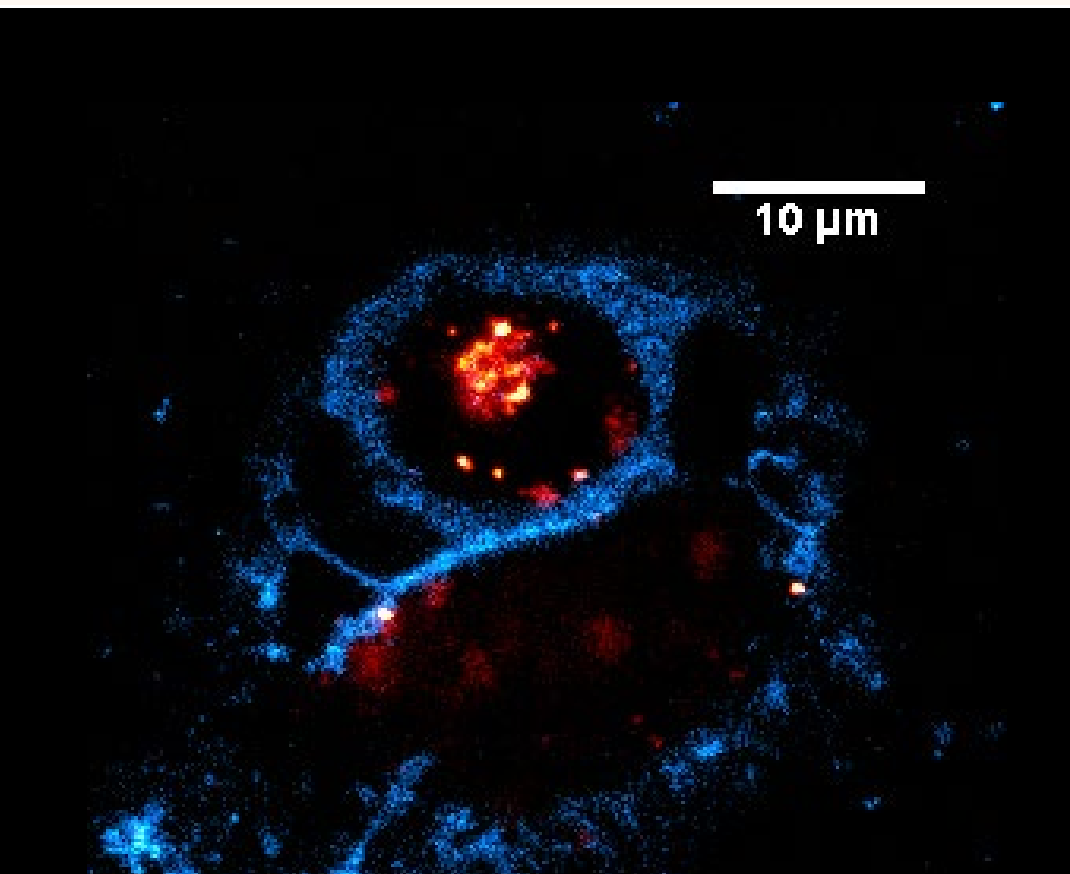
Cartographie à l'échelle nanométrique de l'électroluminescence d'un semiconducteur bidimensionnel



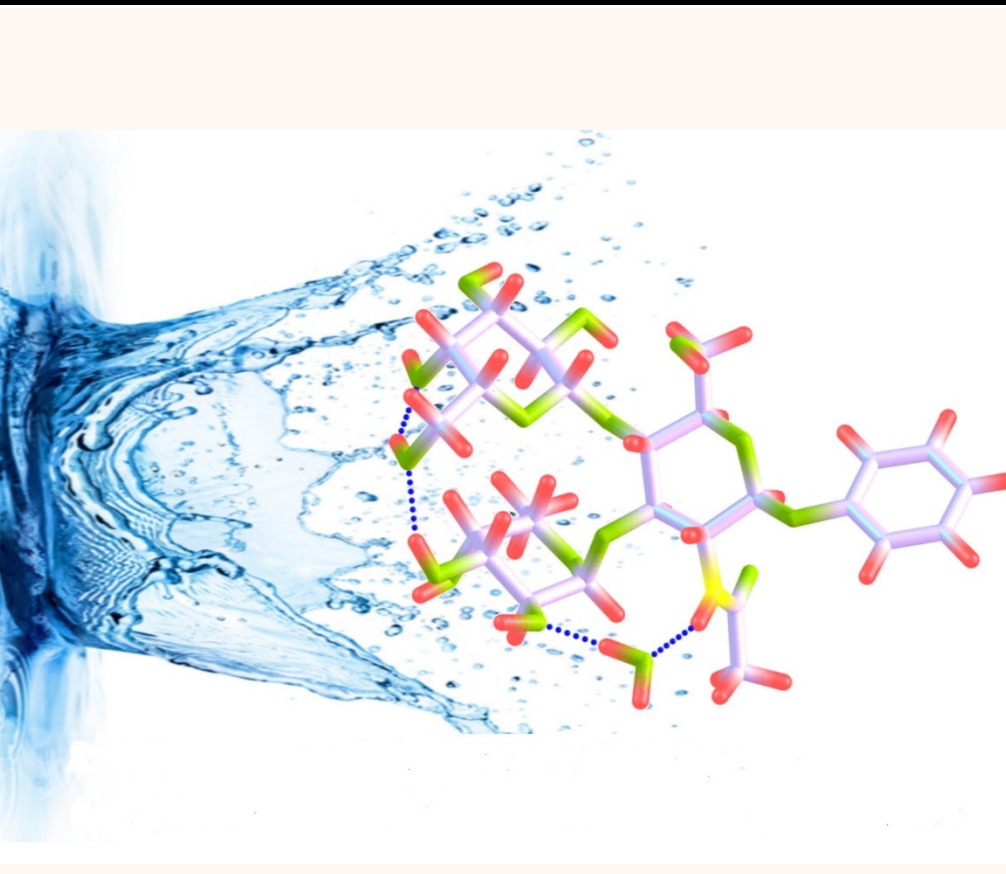
Première condensation de Bose-Einstein dans l'espace



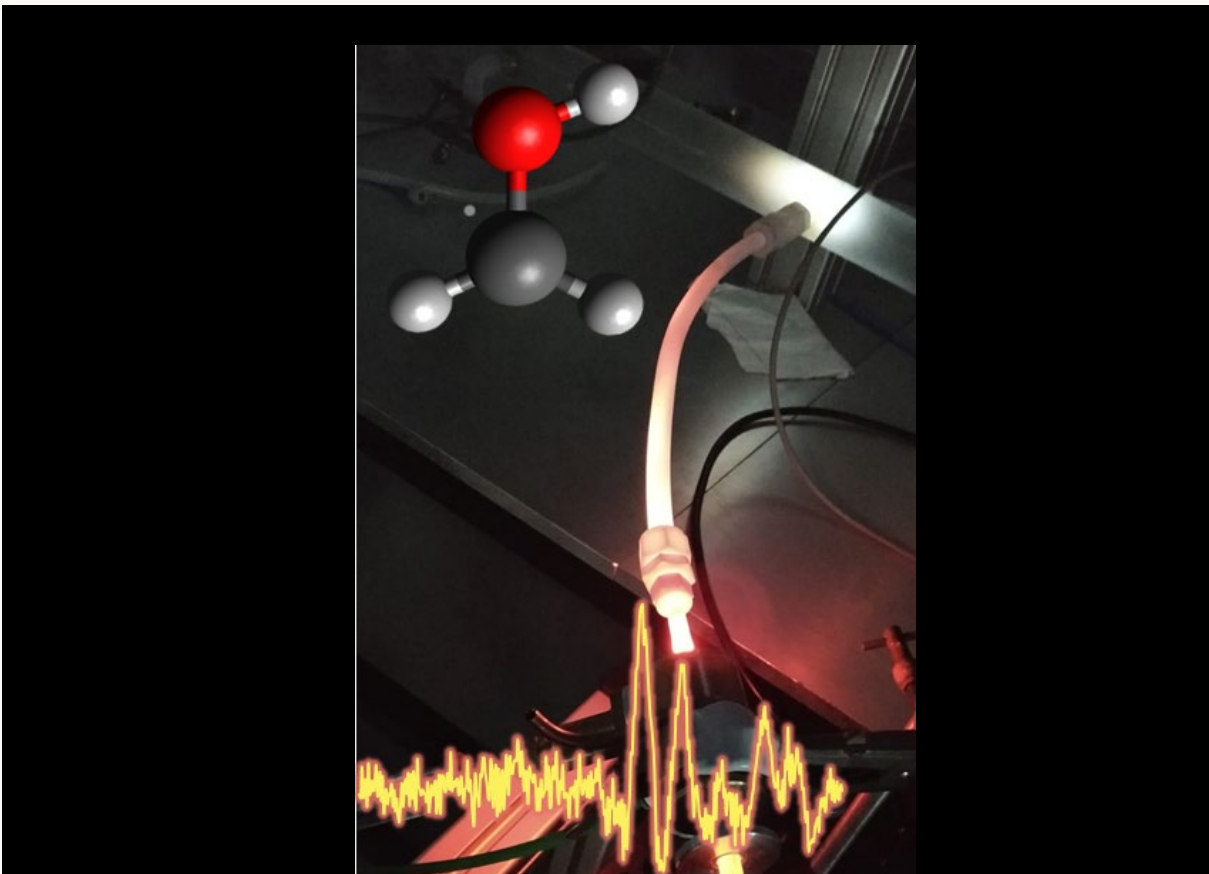
Calculs MCTDH incluant 1000 degrés de liberté. Transfert d'électron en ~ 3 ps en accord avec expérience



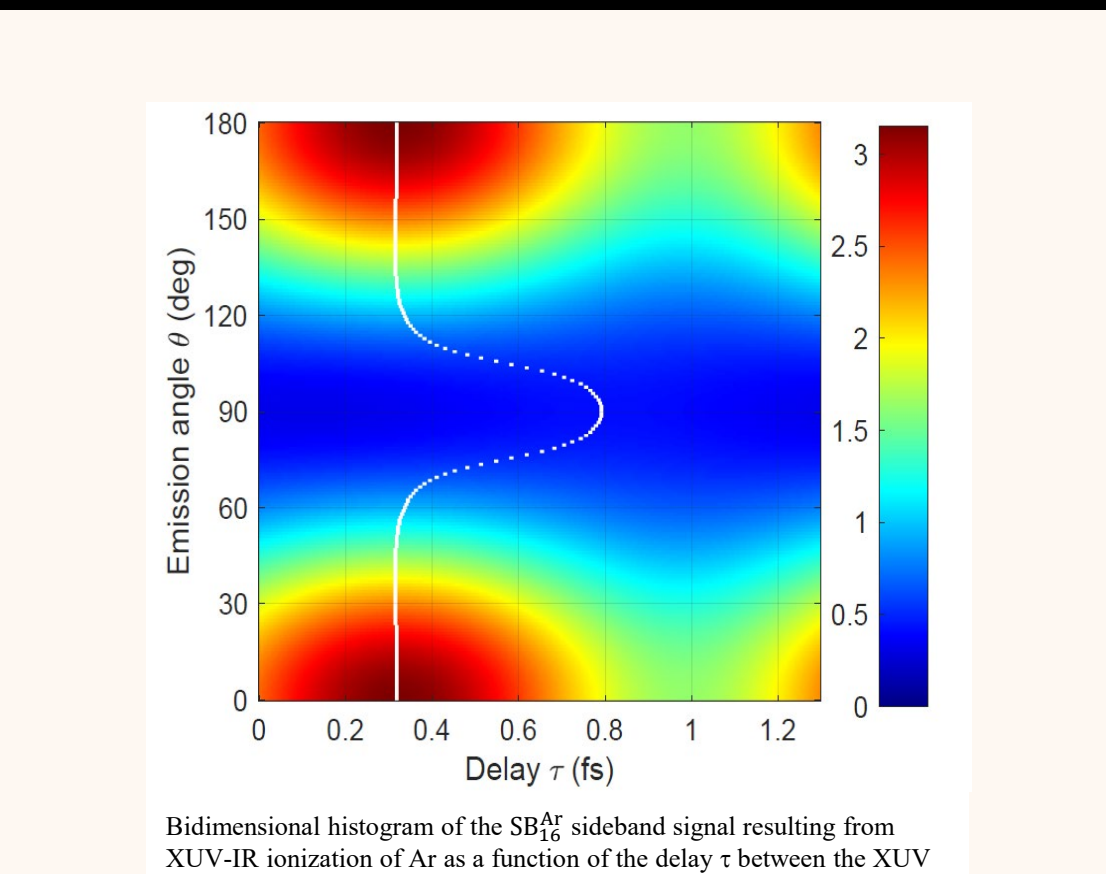
Internalisation de nanoparticules dans un modèle cellulaire en 3D



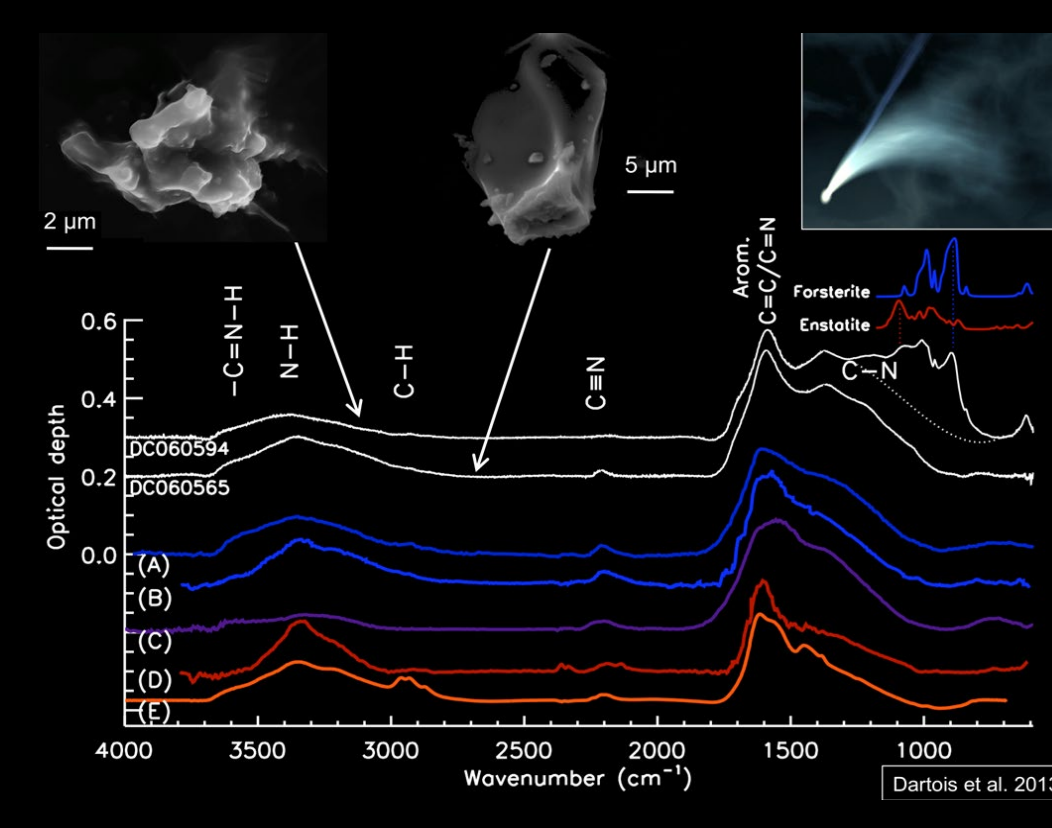
Stabilisation de la forme en stacking des complexes hydratés de Lewis X en phase gazeuse



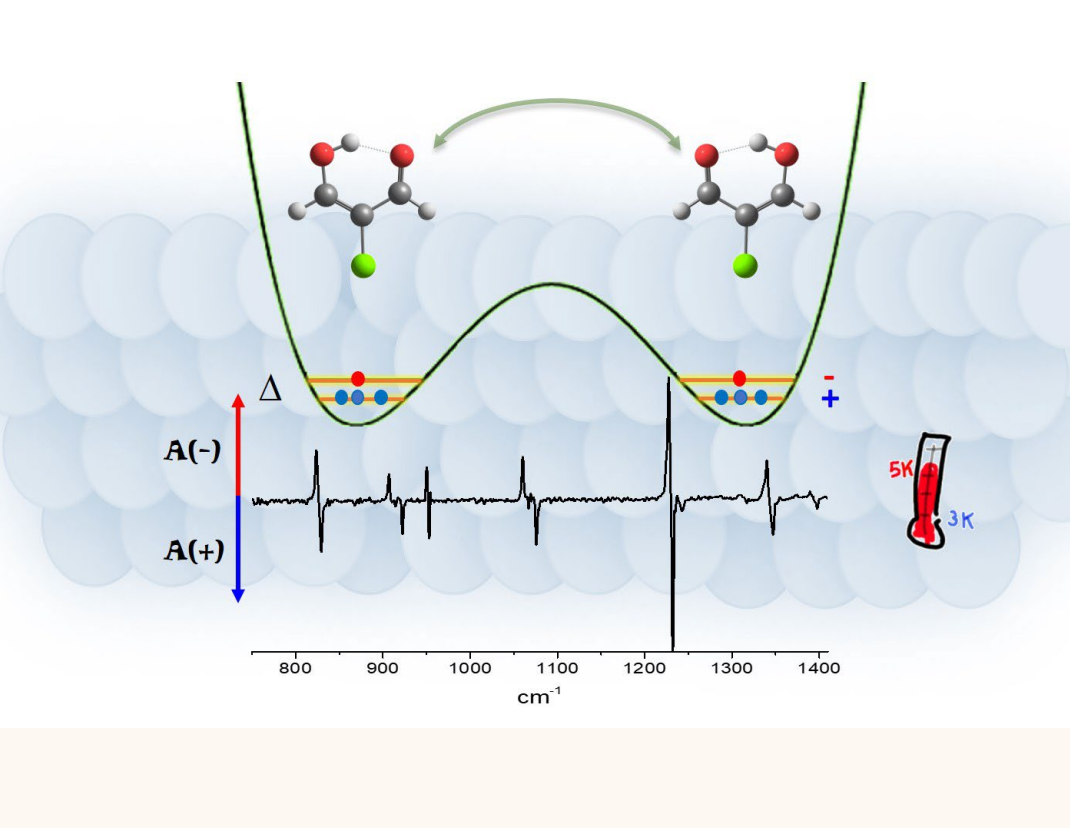
Spectroscopie mm à haute résolution du radical CH_2OH et application au milieu interstellaire



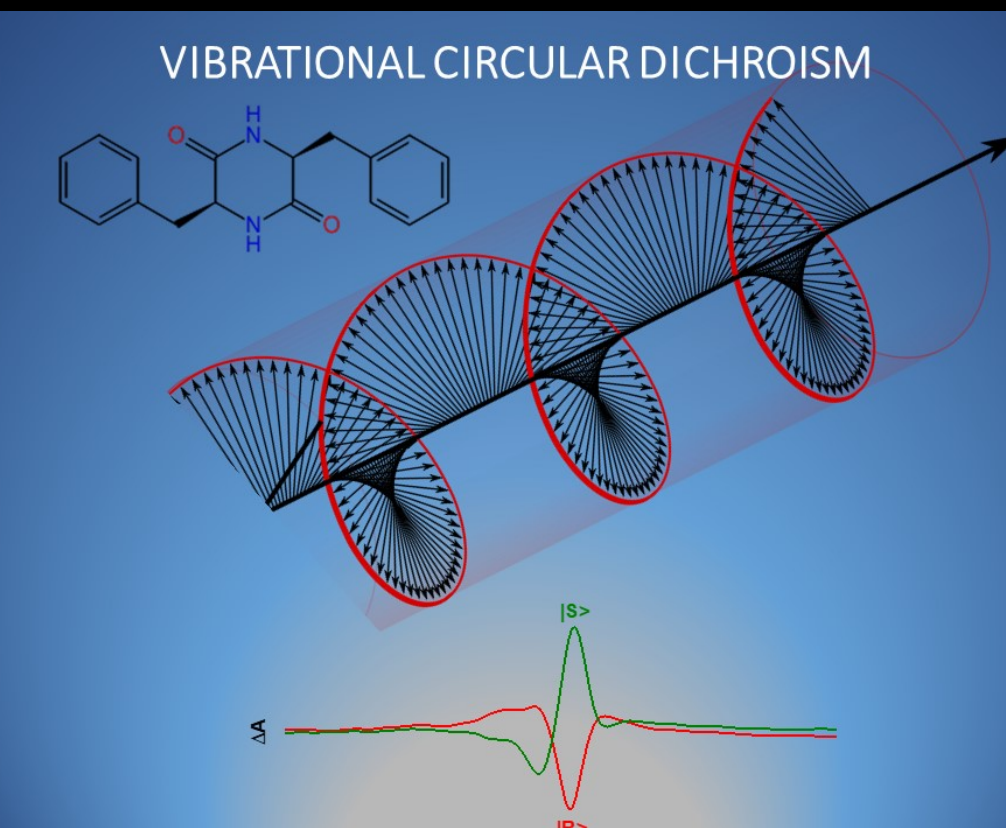
Premières mesures de temps de photoémission sur la ligne FAB10 de ATTOlab



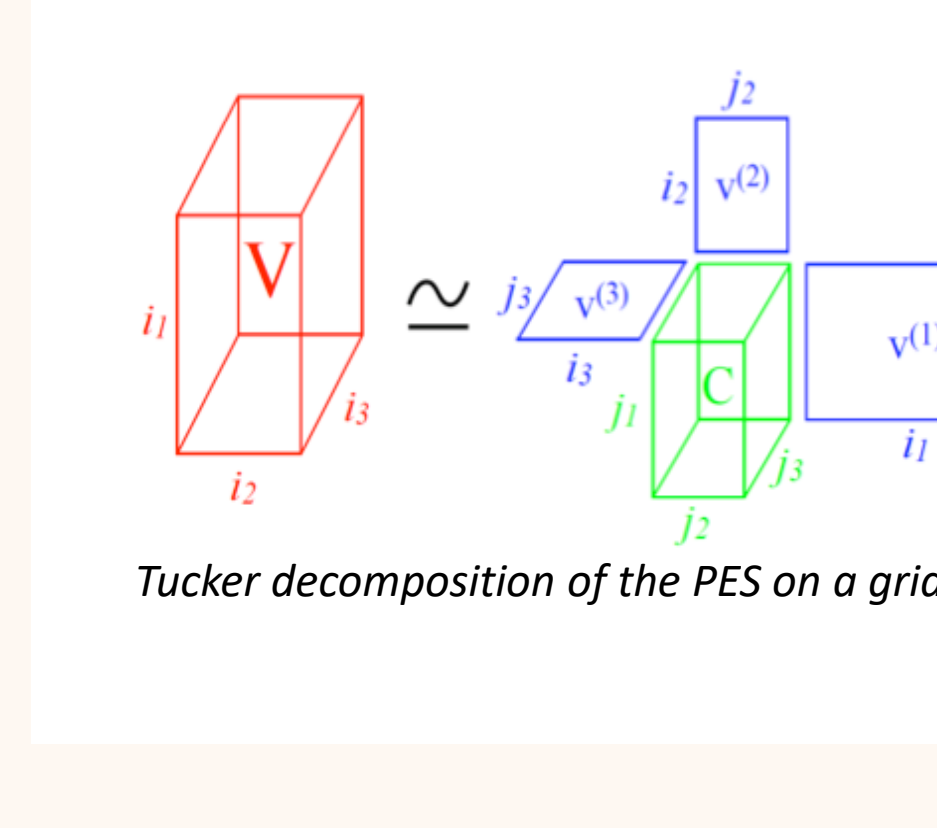
Spectres infrarouges de deux micrométéorites ultracarbonées de la Collection Concordia



Dédoublage tunnel vibrationnel dans le 2-chloromalonaldéhyde piégé en matrice de parahydrogène



Dichroïsme circulaire vibrationnel



Représentation directe de surfaces d'énergie potentielle par décomposition tensorielle

